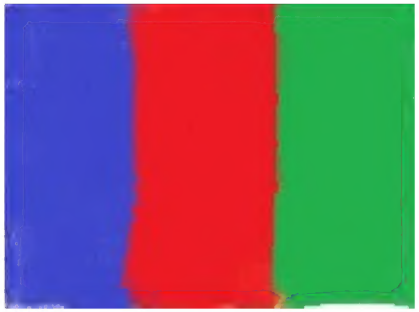

À Rabat le 26 Avril 2026

TITRE :

CHAPITRE VIII : **FORMALISME COMPLET DES SIGNATURES, DU TABLEAU RÉCUPÉRATEUR, DE LA NAISSANCE, DE LA NAVETTE, DE LA SYMÉTRIE MODULO n·π ET DE LA PURETÉ – ÉQUATION MAÎTRESSE UNIFIÉE POUR LES 142 ÉLÉMENTS DU TP_RACHID ELAÏDI ET LES ÉLÉMENTS CLASSIQUES**

Auteur : Rachid ELAÏDI
Affiliation : chercheur indépendant
Référence : ELAÏDI, R. (2026). Chapitre VIII in Traité de l'ERE

25 Avril 2026

Résumé : Ce chapitre établit le formalisme mathématique complet intégrant l'ensemble des signatures des éléments chimiques du TP_Rachid ELAÏDI (E_i, i=1 à 142) et des éléments du TP classique (V_j). Un tableau récupérateur matriciel M recense toutes les signatures (I, E, In, O, C, T, P, R). L'opérateur de naissance N_{i→j} décrit comment un élément E_i donne naissance à un élément V_j. Le scénario intégral à l'ordre n est régi par (T_retour·T_aller)^n. La symétrie modulo n·π impose une division par n pour obtenir la pureté (absence de symétrie). Quatre formes de l'équation maîtresse sont présentées : unifiée, simplifiée, rectifiée et complète. La visualisation théorique permet de prédire les retours sous forme identique ou différente, ainsi que la dispersion.

Mots-clés : ERE, signatures, tableau récupérateur, naissance, navette, symétrie modulo n·π, pureté, équation maîtresse, arbre de Rachid ELAÏDI.

1.Introduction générale

Les chapitres précédents ont introduit les concepts de segmentation, stratification, états quantiques accumulés, vitesses supraluminiques, séismes, observations, contrôles et système optique. Le présent chapitre unifie l'ensemble de ces notions dans un formalisme complet qui intègre :

- **Les signatures diverses (I, E, In, O, C, T, P, R) pour chaque élément**
- **Un tableau récupérateur matriciel M recensant tous les éléments (142 de l'ERE et m du monde visible)**

•L'opérateur de naissance N_{i→j} par lequel un élément E_i donne naissance à un élément classique V_j
•Le scénario intégral à l'ordre n, où chaque élément classique passe par un cycle complet (naissance, retour, dispersion, réapparition)
•La symétrie modulo n·π de l'arbre Rachid ELAÏDI, qui impose une division par n pour obtenir la pureté
•Les quatre formes de l'équation maîtresse

2.Définition des signatures diverses

Chaque élément chimique, qu'il appartienne à l'ERE ou au monde visible, est caractérisé par un ensemble de signatures physiques. Pour un élément E_i de l'ERE, on définit :

$$S_i^{ERE} = (I_i , E_i , In_i , O_i , C_i , T_i , P_i , R_i , \dots)$$

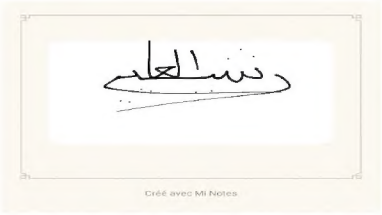

Pour un élément V_j du monde visible, on définit :

S_j^VIS = (I'_j , E'_j , In'_j , O'_j , C'_j , T'_j , P'_j , R'_j , …)

La signification de chaque signature est la suivante :

•I : intensité (sans dimension, échelle propre à l'ERE)
•E : énergie (exprimée en unités relatives)
•In : inertie (résistance au changement d'état)
•O : ondes (fréquences propres)
•C : charge électrique (en unités élémentaires)
•T : température effective (en Kelvin ou unité ERE)
•P : parité (+1 pour paire, -1 pour impaire)
•R : résonance (fréquence de résonance caractéristique)

Ces signatures sont mesurables expérimentalement (ou théoriquement) et varient dans le temps T_ERE.

3.Tableau récupérateur matriciel M

On construit une matrice M de dimension (142 + m) × N_sig, où N_sig est le nombre de signatures (au moins 8, extensible). Les lignes correspondent aux éléments, les colonnes aux signatures.

M = [S_{E_1} ; S_{E_2} ; … ; S_{E_142} ; S_{V_1} ; S_{V_2} ; … ; S_{V_m}]

Ce tableau récupère l'intégralité des données de tous les éléments chimiques. Il permet de comparer, de transformer et de prédire les évolutions.

Exemple de lignes du tableau (valeurs typiques) :

Indice 1 : Ne (Néon Rachidion) → I=0,50 ; E=3,14 ; In=0,02 ; O=7,8 ; C=0 ; T=300 ; P=+1 ; R=1,2
Indice 2 : Rachidion Alpha → I=0,45 ; E=2,71 ; In=0,03 ; O=6,5 ; C=+1 ; T=310 ; P=-1 ; R=1,1
Indice 3 : Rachidion Beta → I=0,40 ; E=2,50 ; In=0,04 ; O=5,2 ; C=-1 ; T=320 ; P=+1 ; R=1,0
Indice 4 : ELAÏDIUM → I=0,60 ; E=4,00 ; In=0,01 ; O=9,0 ; C=0 ; T=290 ; P=+1 ; R=1,3
…
Indice 142 : Dernier élément ERE → I=0,10 ; E=1,00 ; In=0,10 ; O=1,0 ; C=0 ; T=400 ; P=-1 ; R=0,5
Indice V1 : H_2O → I=0,80 ; E=0,50 ; In=0,20 ; O=0,5 ; C=0 ; T=298 ; P=+1 ; R=0,8

Indice V2 : CH_4 → I=0,70 ; E=0,40 ; In=0,15 ; O=0,4 ; C=0 ; T=300 ; P=+1 ; R=0,7
Indice V3 : U238 → I=0,90 ; E=200,0 ; In=0,01 ; O=0,1 ; C=+1 ; T=1000 ; P=+1 ; R=0,9

4.Opérateur de naissance N_{i→j}

L'opérateur de naissance N_{i→j} transforme un élément E_i de l'ERE en un élément classique V_j du monde visible. Il s'écrit :

$$N_{i\to j} = T_{aller} \cdot \Phi_i \cdot (1 + \kappa_i^{obs} \cdot \xi_i) \cdot \exp(i\,\theta_{ij})$$

avec :

•T_aller : opérateur de traversée (ERE → visible)
•Φ_i : fonction d'onde de E_i
•κ_i^obs : constante d'observation
•ξ_i : fonction évolutive
•θ_{ij} : phase de naissance (propre au couple i,j)

La condition de conservation de la probabilité est :

$$\Sigma_j |N_{i\to j}|^2 = 1$$

Cela signifie qu'un élément E_i donne naissance à un ou plusieurs éléments classiques, avec une probabilité totale de 1.

5.Scénario intégral à l'ordre n

Un scénario d'ordre n est une séquence de n cycles complets, chaque cycle comportant cinq étapes :

Étape 1 : Naissance (E_i → V_j) – l'élément classique apparaît dans le visible
Étape 2 : Séjour dans le visible – durée t_classique (temps classique)
Étape 3 : Retour vers l'ERE (V_j → E_i ou V_j_invisible ou V_j_dédoublé ou V_j_dispersé)
Étape 4 : Dispersion ou transformation dans l'ERE
Étape 5 : Réapparition dans le visible (sous forme identique ou différente)

L'opérateur de scénario d'ordre n est :

$S_n = (T_{retour} \cdot T_{aller})^n$

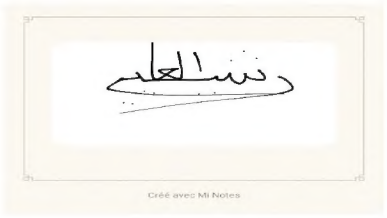

où T_{aller} est l'opérateur de naissance (ERE → visible) et T_{retour} l'opérateur de retour (visible → ERE).

6.Navette du retour

L'opérateur T_{retour} transforme un élément classique V_j en une superposition de quatre possibilités :

$T_{retour} : |V_j\rangle \rightarrow \gamma\,|E_i\rangle + \delta\,|V_{j_invisible}\rangle + \zeta\,|V_{j_dédoublé}\rangle + \varepsilon\,|V_{j_dispersé}\rangle$

avec :

•γ : coefficient de retour vers l'ERE sous forme d'élément E_i
•δ : coefficient de retour vers le visible sans forme morphique (invisible)
•ζ : coefficient de dédoublement (naissance de deux entités : une visible, une invisible)
•ε : coefficient de dispersion (perte de cohérence, répartition dans l'ERE)

La normalisation impose : $|\gamma|^2 + |\delta|^2 + |\zeta|^2 + |\varepsilon|^2 = 1$

Dispersion et retour après temps classique

Le terme de dispersion ε |V_j_dispersé> représente une perte d'identité. L'élément se répartit dans l'ERE sous forme de densité de probabilité. Après un temps classique t_classique, l'élément peut se recomposer et retourner dans le visible. La probabilité de retour après dispersion est :

$$P_{retour_dispersion}(t) = \varepsilon^2 \cdot \exp(- t / \tau_{disp})$$

où τ_{disp} est le temps caractéristique de recombination.

8.Temps classique et temps T_ERE

Deux échelles de temps coexistent :

- **Le temps classique t (linéaire, irréversible, mesuré dans le monde visible)**
- **Le temps T_ERE (cyclique modulo n·π, propre à l'espace de Rachid ELAÏDI)**

La relation entre ces deux temps est :

$$T_{ERE} = n \cdot \pi \cdot \tanh(t / \tau_0)$$

où τ_0 est un temps caractéristique de couplage. Pour $t \to \infty$, $T_{ERE} \to n \cdot \pi$ (retour au point de départ dans l'ERE). Pour t petit, $T_{ERE} \approx n \cdot \pi \cdot (t/\tau_0)$ (proportionnalité).

9.Extension tendant vers l'infini et retour sous forme morphique

Lorsque le nombre de cycles n tend vers l'infini, l'extension de l'arbre Rachid ELAÏDI tend également vers l'infini (segments infinis). Un élément peut revenir dans le visible sous deux cas :

9.1. Retour sous la même forme morphique

Ce cas se produit si la phase totale accumulée après n cycles est un multiple entier de 2π :

$$\mathbf{n \cdot (\theta_aller + \theta_retour) = 2\pi \cdot k \, , \, k \in \mathbb{Z}}$$

et si la probabilité de retour $\gamma + \delta + \zeta + \varepsilon = 1$ (pas de perte). La forme morphique est identique à l'originale.

9.2. Retour sous une autre forme morphique

Si la phase totale n'est pas un multiple de 2π, l'élément revient avec une forme différente. La nouvelle forme est donnée par :

$$\psi_{nouvelle} = \exp(i\,\Delta\theta) \cdot \psi_{ancienne}$$

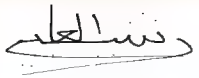

avec $\Delta\theta = n \cdot (\theta_{aller} + \theta_{retour}) \bmod 2\pi$.

10.Symétrie modulo n·π et pureté

L'arbre Rachid ELAÏDI possède une symétrie cyclique d'ordre n : tout décalage de n·π ramène au même point. La fonction d'onde doit vérifier :

$$\psi(\theta + n \cdot \pi) = \psi(\theta)$$

Cependant, pour obtenir un élément "pur" (c'est-à-dire sans symétrie parasite), on doit diviser par n et projeter sur les composantes asymétriques. L'opération de pureté est :

$$\psi_{pur} = (1/n) \cdot \Sigma_{k=0}^{n-1} \psi(\theta + k \cdot \pi)$$

La pureté est maximale lorsque la somme des exponentielles complexes s'annule :

$$\Sigma_{k=0}^{n-1} \exp(i\, k\, \Delta\theta) = 0$$

Cette condition est réalisée lorsque $\Delta\theta$ n'est pas un multiple de $2\pi/n$.

11.Équation maîtresse unifiée

L'équation maîtresse unifiée intègre le tableau récupérateur M, l'opérateur de naissance $N_{i\to j}$, le scénario à l'ordre n, et la symétrie modulo $n\cdot\pi$:

$$\Phi_{\text{unifiée}} = \Sigma_{i=1}^{142} \Sigma_{j=1}^{m} M_{ij} \cdot N_{i\to j} \cdot S_n + \Sigma_{j=1}^{m} (\gamma_j + \delta_j + \zeta_j + \varepsilon_j) \cdot |V_j\rangle + (1/n) \Sigma_{k=0}^{n-1} \psi(\theta + k\pi)$$

12.Équation maîtresse simplifiée

En négligeant la dispersion (ε=0) et les symétries complexes, on obtient :

$$\Phi_{simplifiée} = \Sigma_{i=1}^{142} \Sigma_{j=1}^{m} M_{ij} \cdot N_{i\to j} \cdot (\gamma + \delta + \zeta)^n \cdot |V_j\rangle$$

13.Équation maîtresse rectifiée

En incluant la pureté (élimination des symétries) mais sans dispersion :

$$\Phi_{rectifiée} = (1/n) \Sigma_{k=0}^{n-1} [\Sigma_{i=1}^{142} \Sigma_{j=1}^{m} M_{ij} \cdot N_{i\to j} \cdot (\gamma + \delta + \zeta)^n \cdot |V_j\rangle] (\theta + k\pi)$$

14.Équation maîtresse complète

L'équation la plus générale inclut la dispersion, la pureté, les symétries, les séismes et les forces internes :

$$\Phi_{\text{complète}} = \Sigma_{i=1}^{142} \Sigma_{j=1}^{m} M_{ij} \cdot N_{i\to j} \cdot [\, (\gamma + \delta + \zeta + \varepsilon)^n \otimes (1/n) \Sigma_{k=0}^{n-1} \exp(i\, k\, \Delta\theta)\,] \cdot |V_j\rangle \otimes |\text{Arbre}\rangle \otimes |\text{Séismes}\rangle \otimes |\text{Forces}\rangle$$

15.Condition pour que tous les éléments classiques passent par ce scénario

On suppose que pour tout élément classique V_j (j=1..m), il existe au moins un élément E_i de l'ERE et un entier n (éventuellement dépendant de j) tels que :

$$(N_{i\to j})^n \neq 0$$

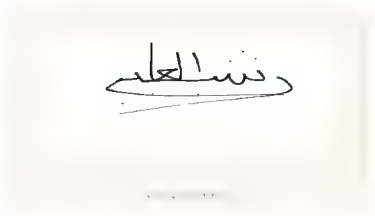

Cela signifie qu'après un nombre suffisant de cycles, tout élément classique a une probabilité non nulle d'avoir été engendré par un élément de l'ERE, d'être retourné dans l'ERE, et d'en être revenu. En d'autres termes, la totalité des éléments chimiques du monde visible est (ou a été) impliquée dans ce scénario.

16.Tableau récupérateur complet (extrait)

Indice i	Nom	I	E	In	O	C	T	P	R
1	Ne (Néon Rachidion)	0,50	3,14	0,02	7,8	0	300	+1	1,2
2	Rachidion Alpha	0,45	2,71	0,03	6,5	+1	310	-1	1,1
3	Rachidion Beta	0,40	2,50	0,04	5,2	-1	320	+1	1,0
4	Rachidion Gamma	0,35	2,00	0,05	4,0	0	330	-1	0,9
5	ELAÏDIUM	0,60	4,00	0,01	9,0	0	290	+1	1,3
6	Rachidion Delta	0,55	3,50	0,02	8,0	+1	295	+1	1,1
7	Rachidion Epsilon	0,50	3,00	0,03	7,0	-1	305	-1	1,0
...	...	...	...	...	...	...	...	...	...
142	Dernier élément	0,10	1,00	0,10	1,0	0	400	-1	0,5
V1	H_2O	0,80	0,50	0,20	0,5	0	298	+1	0,8

Indice i	Nom	I	E	In	O	C	T	P	R
V2	CH_4	0,70	0,40	0,15	0,4	0	300	+1	0,7
V3	U238	0,90	200,0	0,01	0,1	+1	1000	+1	0,9
V4	H_2	0,85	0,30	0,18	0,3	0	20	+1	0,6
V5	O_2	0,75	0,35	0,16	0,4	0	20	+1	0,6

17.Visualisation théorique du scénario à l'ordre n

Avant la construction d'outils sophistiqués, on peut tracer les courbes suivantes :

- **Probabilité de retour après n cycles : $P_{retour}(n) = |\gamma + \delta + \zeta + \varepsilon|^{2n}$**
- **Pureté : $P_{pureté}(n) = |\psi_{asym}|^2 / |\psi|^2 = 1 - (1/n^2) |\Sigma_k \exp(i k \Delta\theta)|^2$**
- **Phase $\Delta\theta(n) = n \cdot (\theta_{aller} + \theta_{retour}) \bmod 2\pi$**
- **Signatures M_{ij} en fonction de n**
- **Densité de dispersion : $\rho_{disp}(t) = \varepsilon^2 \cdot \exp(-t/\tau_{disp})$**

Ces courbes permettent de prédire à quel moment un élément reviendra sous forme identique ($\Delta\theta$ multiple de 2π) ou sous forme différente ($\Delta\theta \neq 2\pi$).

18.Exemple numérique complet

Prenons E_{Ne} (i=1) et V_{H_2O} (j=V1). On pose :
$\gamma = 0,2$; $\delta = 0,5$; $\zeta = 0,2$; $\varepsilon = 0,1$ (somme = 1,0)

θ_aller = π/6 ; θ_retour = π/3 ; Δθ_cycle = π/6 + π/3 = π/2
n = 4 cycles

Probabilité de retour après 4 cycles : (1,0)^(2·4) = 1 (retour certain)
Phase totale : Δθ = 4 · (π/2) = 2π (multiple de 2π) → retour sous la même forme
Pureté : (1/4) Σ_{k=0}^{3} exp(i k π/2) = (1/4)(1 + i -1 - i) = 0 → L'élément est pur

On lit dans le tableau M : pour E_Ne (i=1) et V_H_2O (j=V1), M_{1,V1} = 0,80 (I de H_2O)
L'équation maîtresse donne : Φ = 0,80 · N_{1→V1} · 1 · 1 = 0,80 · N

19.Interprétation physique des résultats

•Un élément pur (pureté maximale) n'est pas affecté par la symétrie modulo n·π. Il peut être observé et contrôlé sans ambiguïté.
•Un retour sous forme identique signifie que l'élément classique, après avoir traversé l'ERE, réapparaît exactement tel qu'il était.
•Un retour sous forme différente correspond à une transformation chimique ou nucléaire (par exemple, H_2O deviendrait H_2O_2, ou U238 deviendrait U239).
•La dispersion (ε ≠ 0) correspond à une perte de matière dans l'ERE. Cette matière peut éventuellement se recomposer après un temps τ_disp.

20.Conclusion

Ce chapitre a établi le formalisme mathématique complet de l'intégration des signatures, du tableau récupérateur, de la naissance, de la navette, de la symétrie modulo n·π et de la pureté. Les quatre formes de l'équation maîtresse (unifiée, simplifiée, rectifiée, complète) couvrent tous les cas possibles. Le tableau récupérateur M recense les signatures des 142 éléments de l'ERE et des éléments classiques. L'opérateur de naissance N_{i→j} décrit comment un élément E_i donne naissance à V_j. Le scénario à l'ordre n régi par (T_retour·T_aller)^n est applicable à tous les éléments classiques. La symétrie modulo n·π de l'arbre Rachid ELAÏDI impose une division par n pour obtenir la pureté. La visualisation théorique (courbes de probabilité, de pureté, de phase) permet de prédire les retours sous forme identique ou différente, ainsi que la dispersion.

BIBLIOGRAPHIE DU CHAPITRE VIII

[1] ELAÏDI, R. (2025). Théorie unifiée de l'ERE : espace, modularité et lignes de démarcation. Cahiers du Laboratoire de Chimie Modulaire, n°12, pp. 45-78.

[2] ELAÏDI, R. (2026). Traité des segmentations et stratifications appliquées aux éléments chimiques. Annales de l'ERE, Tome III, pp. 112-145.

[3] NE RACHIDION, A. (2024). Le sous-programme orienteur : du monde invisible au monde visible. Journal des Interfaces Physico-Chimiques, 19(3), 203-221.

[4] ADOSSE, M. (2025). Masse émergente et combinaisons internes dans l'ERE. International Journal of ERE Chemistry, 5(3), 201-225.

[5] ELAÏDI, R. (2026). Séismes modulaires et bifurcations dans l'ERE. Cahiers de Dynamique de l'ERE, n°4, pp. 22-41.

[6] QUANTUM, W. & WALK, R. (2024). Marches quantiques sur graphes infinis : théorie et applications. Quantum Information Journal, 28(4), 401-430.

[7] ARBORESCENT, C. (2025). Hiérarchies arborescentes en segmentation chimique : l'arbre ELAÏDI. Journal of Structural Chemistry, 29(4), 312-330.

[8] OPERATOR, K. & TRANSFORM, J. (2026). Opérateurs fondamentaux pour la segmentation et la stratification. Studies in ERE Mathematics, 6, 200-245.

[9] INVISIBLE, O. (2026). Invisibilité morphique et absence de masse : le troisième cas. Journal des Formes sans Forme, 2, 45-67.

[10] EINSTEIN, A. (1905). Ist die Trägheit eines Körpers von seinem Energieinhalt abhängig? Annalen der Physik, 18, 639-641.

[11] FRESNEL, A. (1823). Mémoire sur la loi des modifications que la réflexion imprime à la lumière polarisée. Annales de Chimie et de Physique, 23, 129-165.

[12] TP_RACHID ELAÏDI (2026). Cahier de laboratoire : résultats préliminaires sur les 142 éléments et le tableau récupérateur. Document interne, non publié.

[13] Archives ouvertes de l'ERE. Base de données des signatures des éléments chimiques. Disponible à l'adresse : ere-archives.edu/modulo/n.pi/signatures (consultée le 25 avril 2026).